

文章编号:2095-0411(2016)06-0032-06

5-甲基-3-吡唑甲酸配合物的合成、 结构及电化学性质研究

程美令,孙林,王沈,侍昌东,刘琦

(常州大学 石油化工学院,江苏 常州 213164)

摘要:以 5-甲基-3-吡唑甲酸(H_2MPCA)和 4-甲基咪唑(4-MI)为配体,分别与过渡金属盐 $Cu(OAc)_2 \cdot H_2O$ 或者 $Ni(OAc)_2 \cdot 4H_2O$ 经水热反应,分离得到了两个配合物 $[M(HMPCA)_2(4-MI)_2] \cdot 2H_2O$ ($M=Cu$, **1**; Ni , **2**)。用元素分析、红外光谱、X-射线粉末衍射、X-射线单晶衍射等对其进行了表征。配合物 **1** 和 **2** 中金属离子与来自两个 $HMPCA^-$ 配体中的两个氮原子及两个氧原子,两个 4-MI 分子中的两个氮原子配位,形成八面体配位构型。配合物中的独立结构单元 $[M(HMPCA)_2(4-Im)_2 \cdot 2H_2O]$ 通过分子间氢键形成三维超分子。循环伏安性质测试表明配合物 **1** 和 **2** 的电解过程均为准可逆过程。

关键词:5-甲基-3-吡唑甲酸;配合物;电化学

中图分类号:O 621.3

文献标志码:A

doi:10.3969/j.issn.2095-0411.2016.06.007

Synthesis, Crystal Structure and Electrochemical Properties of the Complexes Based on 5-Methyl-1H-Pyrazole-3-Carboxylic Acid

CHENG Meiling, SUN Lin, WANG Shen, SHI Changdong, LIU Qi

(School of Petrochemical Engineering, Changzhou University, Changzhou 213164, China)

Abstract: Two new monomeric complexes, $[M(HMPCA)_2(4-MI)_2] \cdot 2H_2O$ ($M=Cu$, **1**; Ni , **2**) ($H_2MPCA=5\text{-methyl-}1\text{H-pyrazole-3-carboxylic acid}$, $4\text{-MI}=4\text{-methylimidazole}$) were synthesized by hydrothermal reaction of H_2MPCA and 4-Im with $Cu(OAc)_2 \cdot H_2O$ and $Ni(OAc)_2 \cdot 4H_2O$, respectively. The compounds were characterized by elemental analysis, IR spectra, X-ray diffraction. Single crystal analysis shows that metal ions have all octahedral geometry coordinated by two nitrogen atoms and two oxygen atoms from two $HMPCA^-$ ligands, another two nitrogen atoms from two 4-Im molecules. The independent components $[M(HMPCA)_2(4-Im)_2 \cdot 2H_2O]$ are further assembled into 3D supramolecular architectures through intermolecular hydrogen bonds. Electrochemical properties of **1** and **2** show that electron transfer of M(II) between M(III) ($M=Cu$, Ni) in electrolysis is quasi-reversible process.

Key words:5-methyl-1H-pyrazole-3-carboxylic acid; complex; electrochemical property

金属有机配合物是一种由金属离子与多齿桥联有机配体通过配位键、氢键等相互作用自组装而成的化合物^[1-2],近年来得到国内外研究人员的极大关注,成为配位化学领域中的研究热点。研究人员可

收稿日期:2016-07-01。

基金项目:国家自然科学基金资助项目(20971060, 21101018)。

作者简介:程美令(1982—),女,江苏盐城人,博士,讲师,主要从事功能配合物研究。通讯联系人:刘琦(1962—),E-mail:liuqi62@163.com

以通过拓扑结构的定向设计和有机官能团的选用得到结构多样化、性质优异独特的配合物,并使其在选择性催化、气体吸附与分离、离子交换、光学材料、磁性材料、电化学和生物活性药物等方面具有潜在的应用前景^[3-5]。配合物的自组装是一个非常复杂的过程,影响配合物结构的因素有:配体的结构、溶液的pH、金属离子、反应物的摩尔比、反应溶剂和反应温度等。其中有机配体的选择和合理使用是构建配合物的关键因素之一,所以配体的结构在构建配合物时扮演着极其重要的角色。含氮杂环羧酸类配体,如吡啶羧酸^[6-7]、吡唑羧酸^[8-9]、吡嗪羧酸^[10-11]、嘧啶羧酸^[3,12]和咪唑羧酸^[14-15]等因为含有O和N两种配位原子,能与金属离子以多种方式配位,因此常被用来合成功能配合物。5-甲基-3-吡唑甲酸(H₂MPCA)作为其中之一还具有如下特征:①吡唑环上的N原子及羧基O原子除了可以与金属离子配位,还可以形成分子间氢键,从而得到高维度超分子结构。②在不同的pH下条件可以不同程度地脱去质子,从而形成HMPCA⁻,MPCA²⁻两种阴离子,因此,可以通过改变体系的pH条件来调控配合物结构。

另外,氮辅助配体也常被加入到上述反应体系,进一步丰富配合物结构、性能^[16-17],而且咪唑类配体有着药理作用,消炎、杀菌、抗癌活性^[18]。但是同时含有H₂MPCA和咪唑类配体的超分子化合物还不多。为了进一步扩展本研究工作,选用5-甲基-3-吡唑甲酸(H₂MPCA)和4-甲基咪唑(4-MI)为配体,合成了两个过渡金属配合物[M(HMPCA)₂(4-MI)₂]·2H₂O(M=Cu, 1; Ni, 2)。本文报道了配合物1和2的合成、结构表征及其电化学性能。

1 实验部分

1.1 试剂及仪器

实验中5-甲基-3-吡唑甲酸(H₂MPCA)根据文献[19]报道方法制备,所用试剂均为分析纯,使用前未经纯化。红外光谱是在美国Nicolet-460型傅里叶变换红外光谱仪上记录。元素分析是在美国Perkin-Elmer公司2400 Series II型元素分析仪上测定。晶体结构采用Bruker Smart Apex CCD型单晶X-射线衍射仪测定。粉末X-射线衍射(XRD)分析是采用日本理学D/max 2500 PC(Cu K α , $\lambda=0.150\text{56nm}$)型X-射线衍射仪测定,工作电压和电流分别为60kV和300mA。电化学性质在京华科

普天科技有限公司生产的CHI660D电化学工作站上测定。

1.2 配合物[Cu(HMPCA)₂(4-MI)₂]·2H₂O(1)的制备

将H₂MPCA(0.0252g, 0.2mmol),4-MI(0.0340g, 0.5mmol)和Cu(OAc)₂·H₂O(0.0200g, 0.1mmol)溶于10mL H₂O中,在室温下搅拌30min,得到深蓝色浑浊液,将此混合液转移到23mL内衬聚四氟乙烯的水热反应釜中,加热到120℃并恒温24h后,进行程序降温(5℃/h)直到室温,长出深蓝色块状晶体1,收集晶体,用去离子水洗涤,真空干燥后称重。产量:0.0307g,产率:63.08%(按H₂MPCA计算)。1的分子式为C₁₆H₂₂CuN₈O₆(485.95),元素分析结果[计算值(实验值)%]:C 39.55(39.22),H 4.56(4.42),N 23.06(23.32)。IR数据(cm⁻¹,KBr压片):3299(s),3143(s),3090(m),2927(s),2851(s),1614(vs),1537(m),1498(m),1432(vs),1380(m),1356(s),1333(m),1303(m),1267(w),1216(m),1195(m),1143(m),1100(w),1079(m),1031(m),1015(m),916(m),850(m),819(m),798(m),741(m),689(w),660(m),621(w),578(w),435(m)。

1.3 配合物[Ni(HMPCA)₂(4-MI)₂]·2H₂O(2)的制备

与配合物1的合成方案类似,用Ni(OAc)₂·4H₂O(0.0249g, 0.1mmol)代替Cu(OAc)₂·H₂O,搅拌后得到淡蓝色浑浊液,水热反应后最后得到的是淡蓝色块状晶体2。产量:0.0261g,产率:51.28%(按H₂MPCA计算)。2的分子式为C₁₈H₂₆NiN₈O₆(509.18),元素分析结果[计算值(实验值)%]:C 42.46(42.24),H 5.15(5.02),N 22.01(22.32)。IR数据(cm⁻¹,KBr压片):3344(s),3139(s),3014(m),2865(s),1594(vs),1496(s),1431(m),1370(w),1352(s),1299(m),1240(w),1220(w),1110(s),1025(s),962(w),836(m),793(m),666(m),628(w),557(w)。

1.4 单晶衍射数据的收集及结构解析

晶体数据在Bruker Smart Apex CCD单晶衍射仪上,采用经石墨单色器单色化的Mo K α 射线(λ

$\lambda = 0.071\text{073 nm}$),于 296(2) K 下运用 ω 扫描技术在室温下收集,数据经 Lp 因子和经验吸收校正。晶体结构用(Sheldrick, 2008)软件解出,并用 SHELXTL^[20]精修得到,随后用数轮差值 Fourier 合成法确定了非氢原子的坐标,继而用全矩阵最小二乘法对所有非氢原子进行各向异性修正。所有吡唑环氮原子和所有水分子上的氢原子从傅立叶图上找到。其它氢原子坐标均由理论方法加入,并采用各向同性温度因子。配合物 1 和 2 的晶体学数据列于表 1 中。

表 1 化合物的晶体学数据

Table 1 Crystal data and structure refinements of complexes

	1	2
Empirical formula	$C_{18}H_{26}CuN_8O_6$	$C_{18}H_{26}NiN_8O_6$
Formula weight	514.01	509.18
Crystal size / mm	$0.18 \times 0.20 \times 0.21$	$0.22 \times 0.18 \times 0.17$
Temperature / K	296(2)	296(2)
Wavelength / nm	0.071 073	0.071 073
Crystal system	monoclinic	monoclinic
Space group	$P2_1/n$	$P2_1/n$
a / nm	0.856 29(10)	0.862 16(11)
b / nm	1.443 26(17)	1.441 37(17)
c / nm	0.981 93(12)	0.982 50(13)
$\alpha / (\circ)$	90.00	90.00
$\beta / (\circ)$	100.989(2)	102.201(2)
$\gamma / (\circ)$	90.00	90.00
V / nm^3	1.191 3(2)	1.193 4(3)
Z	2	2
$D_c / (\text{g} \cdot \text{cm}^{-3})$	1.433	1.417
$F(000)$	534	532
$\mu(\text{Mo } K\alpha) / \text{mm}^{-1}$	0.966	0.862
Independent reflections (R_{int})	2 069 (0.019 2)	2 087 (0.021 3)
Data / Restraints / Parameters	2 069 / 2 / 152	2 087 / 2 / 152
Goodness-of-fit on F^2	1.083	1.081
R_1 , $wR_2[I > 2\sigma(I)]$	0.031 5, 0.103 4	0.029 0, 0.086 6
R_1 , $wR_2(\text{all data})$	0.035 2, 0.115 2	0.030 7, 0.088 9
Residuals ($e \text{ nm}^{-3}$)	355, -303	345, -434

2 结果与讨论

2.1 配合物 $[\text{M}(\text{HMPCA})_2(4\text{-MI})_2] \cdot 2\text{H}_2\text{O}$ ($\text{M}=\text{Cu (1), Ni (2)}$) 的晶体结构

配合物 1 和 2 的主要键长数据列于表 2。晶体结构分析表明,配合物 1 和 2 都属于单斜晶系,空间群为 $P2_1/n$,由于配合物 1 和 2 的结构类似,这里主要分析讨论配合物 1 的晶体结构。 Cu(II) 的配位环

境如图 1 所示,每个 Cu(II) 离子与来自两个 HMPCA⁻ 阴离子中的两个 N 原子及两个 O 原子,两个 4-MI 分子中的两个 N 原子配位,处于畸变的八面体构型中。其中 N2, O1, N2A 和 O1A 占据赤道平面的 4 个位置,N3 和 N3A 占据了轴向位置。另外,Cu1—N2(0.201 67(18) nm) 的平均键长小于 Cu1—O1(0.247 40(17) nm) 的平均键长(表 2),说明 Cu(II) 离子与 HMPCA⁻ 配体中的 N 原子的配位能力强于 Cu(II) 离子与 O 原子的配位能力。而配合物 2 中,Ni1—N2(0.205 81(14) nm) 的平均键长小于 Ni—O1(0.213 87(12) nm) 的平均键长,说明 Ni(II) 离子与 HMPCA⁻ 配体中的 N 原子的配位能力强于 Ni(II) 离子与 O 原子的配位能力。在配合物 1 的合成过程中, H_2MPCA 脱去了一个质子以 HMPCA⁻ 形式存在,采取 N, O-螯合模式与一个 Cu(II) 离子配位,形成一个五元螯合环。

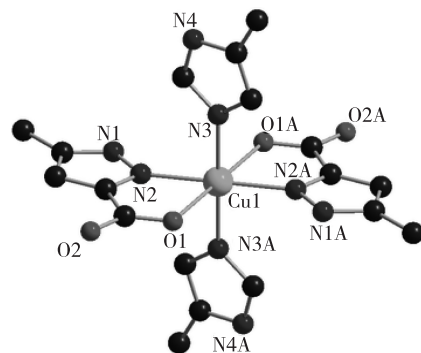
图 1 配合物 1 中 Cu(II) 的配位环境图

Fig.1 Coordination environments of complex 1

表 2 配合物 1 和 2 的主要键长

Table 2 Selected bond lengths for complexes 1 and 2

	nm		
	1		
Cu1—O1	0.247 40(17)	Cu1—N2	0.201 67(18)
Cu1—N3	0.200 27(19)	Symmetry code: A: $2-x, -y, 2-z$	
2			
Ni1—O1	0.213 87(12)	Ni1—N2	0.205 81(14)
Ni1—N3	0.208 32(15)	Symmetry code: A: $2-x, -y, 2-z$	

配合物 1 和 2 中的主要氢键键长和键角数据列于表 3。配合物 1 中存在 3 种分子间氢键:①游离水中的 O 原子与 HMPCA⁻ 配体中的 O 原子形成分子间氢键;② 4-Im 上未配位的 N 原子与

HMPCA⁻配体中的O原子形成分子间氢键;③HMPCA⁻配体中未配位的N原子与游离水中的O原子形成分子间氢键。如图2所示,每个结构单元与游离水分子通过分子间氢键N1—H1A· · ·

O1WB, O1W—H1WA· · · O1和O1W—H1WB· · · O2C的相互作用,形成二维网状结构。此外,二维网状结构与相邻的层间通过分子间氢键N4—H4A· · · O2D相互作用堆积形成三维结构。

表3 配合物1和2中氢键的键长和键角

Table 3 Bond lengths and angles of hydrogen bonds in 1 and 2

D—H· · · A	D—H / nm	H· · · A / nm	D· · · A / nm	D—H· · · A / (°)
1				
O1W—H1WA· · · O1	0.086	0.191	0.272 7(3)	158
N1—H1A· · · O1WB	0.086	0.189	0.272 0(3)	163
O1—H1WB· · · O2C	0.088	0.191	0.275 6(3)	162
N4—H4A· · · O2D	0.086	0.191	0.274 5(3)	164
Symmetry codes: B: 2-x, -y, 2-z; C: -1/2+x, 1/2-y, -1/2+z; D: 1/2+x, 1/2-y, -1/2+z				
2				
O1W—H1WA· · · O2B	0.084	0.198	0.280 3(2)	164
N1—H1A· · · O1W	0.086	0.191	0.272 0(2)	156
O1W—H1WB· · · O1C	0.085	0.197	0.278 2(2)	159
N4—H4A· · · O2D	0.086	0.196	0.281 1(2)	170
Symmetry codes: B: 5/2-x, -1/2+y, 5/2-z; C: 2-x, -y, 2-z; D: 1/2+x, 1/2-y, -1/2+z				

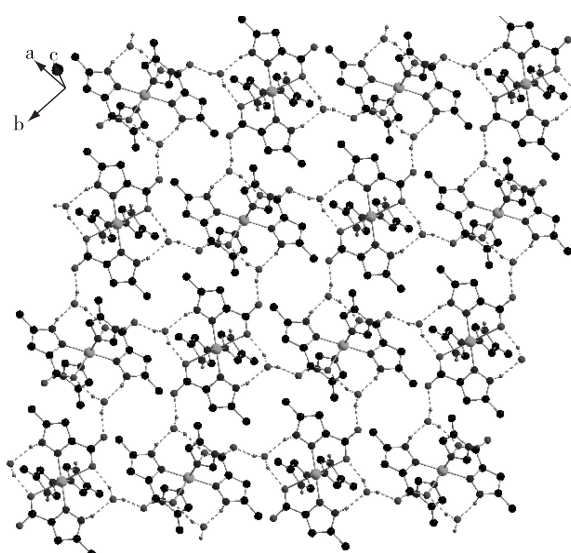


图2 配合物1的二维网状结构图,虚线代表氢键

Fig.2 Two-dimensional network of 1, dash lines indicate that there are hydrogen bonds

2.2 粉末衍射分析

为了证明配合物1和2的纯度,在室温下对其进行了粉末衍射分析测试,如图3所示。从图上可以看出,模拟出来的XRD相图与测试结果能基本吻合,表明样品具有较好的相纯度。两条曲线中衍射峰强度的不同可能归因于粉末样品中晶粒的优先

取向性^[21-22]。

2.3 循环伏安分析

为了研究配合物1和2的电化学性质,在室温环境下,采用三电极体系测定了它们的循环伏安曲线,其中铂电极为对电极,饱和甘汞电极为参比电极,工作电极为载有配合物的泡沫镍电极,电解质溶液为2 mol/L的KOH溶液,扫描电位为-0.2~0.6 V,扫描速率为2 mV/s。如图4所示,循环伏安图的分析表明配合物1和2都仅有一对氧化还原峰,对应为M(II)/M(III)(1:M=Cu; 2:M=Ni)的氧化还原过程,配合物1阳极峰($E_{pa}=0.45\text{ V}$)和阴极峰($E_{pc}=0.23\text{ V}$)的电位差为 $\Delta E=E_{pa}-E_{pc}=0.22\text{ V}$ 。配合物2阳极峰($E_{pa}=0.44\text{ V}$)和阴极峰($E_{pc}=0.19\text{ V}$)的电位差为 $\Delta E=E_{pa}-E_{pc}=0.25\text{ V}$ 。从 ΔE 值可判别配合物1和2的电解过程均为准可逆过程。

3 结论

以Cu²⁺和Ni²⁺为中心金属离子,5-甲基-3-吡唑甲酸和4-甲基咪唑为配体,得到了两个配合物[M(HMPCA)₂(4-MI)₂]·2H₂O(M=Cu, 1; Ni, 2)。配合物1和2中每个金属离子均为六配位的八面体构型,配体H₂MPCA以HMPCA⁻形式存在,采取N, O-螯合方式参与配位。1和2均在氢键作

用下最终堆积成三维超分子结构。循环伏安性质测试表明配合物 **1** 和 **2** 的电解过程均为准可逆过程，

其准可逆氧化还原峰归属于 Cu^{II}/Cu^I(**1**)和 Ni^{III}/Ni^{II}(**2**)电对。

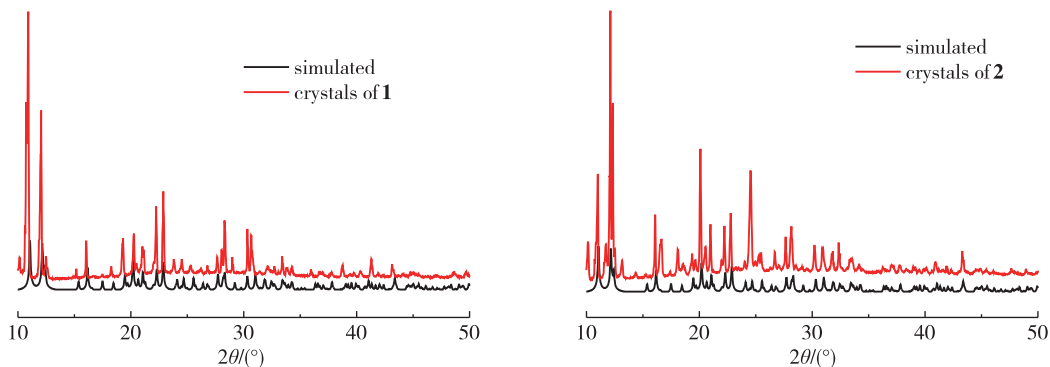


图 3 配合物 **1** 和 **2** 的模拟和测试粉末衍射图

Fig.3 The PXRD spectra of **1** and **2**

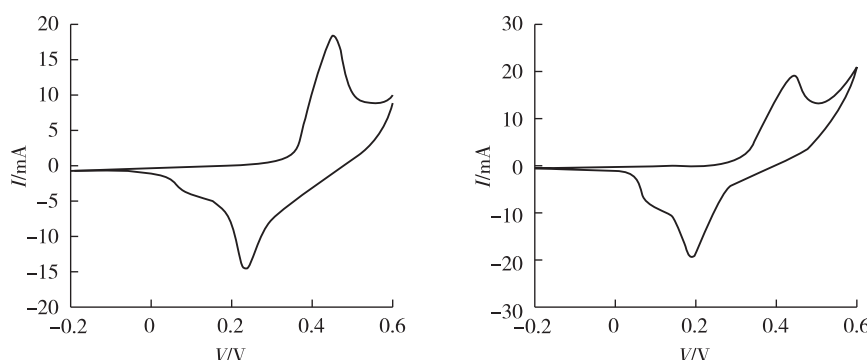


图 4 配合物 **1**(左)和 **2**(右)的循环伏安图

Fig.4 Cyclic voltammogram of **1** (left) and **2** (right)

参考文献：

- [1] COOK T R, ZHENG Y R, STANG P J. Metal-organic frameworks and self-assembled supramolecular coordination complexes: Comparing and contrasting the design, synthesis, and functionality of metal-organic materials—chemical reviews [J]. *J Am Chem Soc*, 2013, 113 (1): 734-777.
- [2] NORO S I, KITAURA R, KONDO M, et al. Framework engineering by anions and porous functionalities of Cu(Ⅱ)/4',4'-bpy coordination polymers [J]. *J Am Chem Soc*, 2002, 124(11): 2568-2583.
- [3] BUREEKAEW S, HORIKE S, HIGUCHI M, et al. One-dimensional imidazole aggregate in aluminium porous coordination polymers with high proton conductivity [J]. *Nat Mater*, 2009, 8(10): 831-836.
- [4] LI P Z, WANG X J, LIU J, et al. A triazole-containing metal-organic framework as a highly effective and substrate size-dependent catalyst for CO₂ conversion [J]. *J Coord Chem*, 2012, 65(6): 923-933.

Am Chem Soc, 2016, 138(7): 2142-2145.

- [5] DAVID J T, ZHENG N, MICHAEL O, et al. Reticular chemistry of metal-organic polyhedra [J]. *Angew Chem Int Ed*, 2008, 47: 5136-5147.
- [6] FANG S M, HU M, JIA L R, et al. Highly-thermostable lanthanide-organic coordination frameworks with N-protonated 2, 6-dihydroxypyridine-4-carboxylate exhibiting unusual 3-D mixed-connected network topology [J]. *Crystengcomm*, 2011, 13(21): 6555-6563.
- [7] DECAUDT R, HECKE K V, DEPLA D, et al. Synthesis, crystal structures, and luminescence properties of carboxylate based rare-earth coordination polymers [J]. *Inorg Chem*, 2012, 51(21): 11623-11634.
- [8] WANG L D, TAO F, CHENG M L, et al. Syntheses, crystal structures, and luminescence of two main-group metal complexes based on 3,4-pyrazoledicarboxylic acid [J]. *J Coord Chem*, 2012, 65(6): 923-933.
- [9] CHEN L, TAO F, WANG L, et al. Two metal complexes based on the ligand 3, 4-pyrazoledicarboxylic acid: synthesis, structures, and luminescent properties [J]. *Z*

- Anorg Allg Chem, 2013, 639(3/4):552-557.
- [10]WAN Y H, ZHENG X J, WANG F Q, et al. Water, cluster supported architecture of lanthanide coordination polymers with pyrazinetricarboxylic acid[J]. Crystengcomm, 2009, 11(2):278-283.
- [11]LI B, GU W, ZHANG L Z, et al. $[\text{Ln}_2(\text{C}_2\text{O}_4)_2(\text{pyzc})_2(\text{H}_2\text{O})_2]_n$ [$\text{Ln}=\text{Pr}$ (1), Er (2)]: Novel two-dimensional lanthanide coordination polymers with 2-pyrazinecarboxylate and oxalate[J]. Inorg Chem, 2007, 45(26):10425-10427.
- [12]CEPEDA J, BALDA R, BEOBIDE G, et al. Lanthanide (III)/pyrimidine-4, 6-dicarboxylate/oxalate extended frameworks: a detailed study based on the lanthanide contraction and temperature effects[J]. Inorg Chem, 2011, 50(17):8437-8451.
- [13]SUN H L, YIN D D, CHEN Q, et al. Europium pyrimidine-4,6-dicarboxylate framework with a single-crystal-to-single-crystal transition and a reversible dehydration/rehydration process[J]. Inorg Chem, 2013, 52(7):3582-3584.
- [14]SUN Y Q, JIE Z, CHEN Y M, et al. Porous Lanthanide-organic open frameworks with helical tubes constructed from interweaving triple-helical and double-helical chains[J]. Angew Chem Int Ed, 2005, 117(36):5964-5967.
- [15]WANG P, FAN R Q, LIU X R, et al. Two-/three-dimensional open lanthanide-organic frameworks containing rigid/flexible dicarboxylate ligands: synthesis, crystal structure and photoluminescent properties[J]. Crystengcomm, 2013, 15(10):1931-1949.
- [16]TANG L Z P, YANG M W, CHENG M L, et al. Syntheses, Crystal structures and luminescent properties of two cadmium supramolecular complexes based on water-carboxylate chains[J]. Chinese J Inorg Chem, 2015, 31(3):603-610.
- [17]DU M, ZHANG Z H, GUO W, et al. Multi-component hydrogen-bonding assembly of a pharmaceutical agent pamoic acid with piperazine or 4,4'-bipyridyl: a channel hydrated salt with multiple-helical motifs vs a bimolecular cocrystal[J]. Cryst Growth Des, 2009, 9(4):1655-1657.
- [18]ZHANG S, NIU S Y, JIE G F, et al. Electrochemical and spectroscopic studies on the interaction between tetracoordinate macrocyclic copper (II), nickel (II) and cobalt (III) complexes with DNA[J]. Chin J Chem, 2006, 24(2):257-263.
- [19]CRANE J D, FOX O D, SINN E. Synthesis and structural characterisation of the isotypic complexes $\text{MIL}_2(\text{py})_2 \cdot 2\text{H}_2\text{O}$ ($\text{M}=\text{Cu}, \text{Zn}$): the interplay of lattice imposed ligand disposition and Jahn-Teller distortions [$\text{HL}=5\text{-}(4\text{-methoxyphenyl})\text{pyrazole-3-carboxylic acid}$][J]. J Chem Soc Dalton Trans, 1999:1461-1465.
- [20]SHELDRIK G M. A short history of SHELX[J]. Acta Cryst, 2008, A64:112-122.
- [21]陆晓旺,张作松,殷禹. CeO_2 纳米颗粒修饰 TiO_2 纳米管阵列及其光催化性能[J]. 常州大学学报(自然科学版),2016,28(5):21-27.
- [22]刘成琪,王利平,朱晓峰.微波辅助法合成 S掺杂 g-C₃N₄降解孔雀石绿染料废水[J].常州大学学报(自然科学版),2016,28(2):50-54.

(责任编辑:殷丽莉)